

05

## Эффект экранирования упругого поля дисклинации системой дислокаций

© Г.Ф. Сарафанов, В.Н. Перевезенцев

Нижегородский филиал Института машиноведения  
им. А.А. Благоднарова РАН  
E-mail: sarafanov@sinn.ru, pevn@uic.nnov.ru

Поступило в Редакцию 20 июня 2005 г.

Построена эффективная функция напряжений Эйри дисклинации, учитывающая экранирующий эффект от системы распределенных дислокационных зарядов. Найдены координатные зависимости компонент тензора напряжений экранированной дисклинации и плотности дислокационного заряда. Произведен расчет упругой энергии экранированной дисклинации.

На стадии развитой пластической деформации коллективные моды движения дислокаций приводят к возникновению в поле приложенных напряжений крупномасштабных образований с упорядоченным распределением дислокаций. Подобного рода образования получили название мезодефектов [1–3]. Уже в первых работах на эту тему были выявлены и классифицированы наиболее характерные для стадии развитой пластической деформации дислокационные образования, среди которых наиболее типичными мезодефектами оказались оборванные дислокационные границы [4]. С теоретической точки зрения необходимо понять, почему формирование в объеме зерна такого рода границ энергетически выгодно. Актуальность этого вопроса связана с тем, что классическая теория дефектов кристаллической решетки запрещает существование оборванных дислокационных границ [5,6].

Согласно [7,8], оборванные субграницы можно интерпретировать во многих случаях как частичные дисклинации. Известно, что упругие поля от дисклинаций увеличиваются с расстоянием. В существующих моделях [8,9] экранирование упругого поля дисклинаций достигалось путем учета дисклинаций противоположного знака. Тем самым предполагалось, что в реальных кристаллах дисклинационные системы всегда представляют собой диполи, квадруполь и другие скомпенсированные конфигурации. Однако следует заметить: во-первых, экспериментально

наблюдаются и не скомпенсированные оборванные границы (ветвящиеся малоугловые границы, субграницы, оканчивающиеся „факелом“ из решеточных дислокаций деформированного зерна и др.) [2]; во-вторых, очевидно, что как зарождение, так и движение оборванных субграниц (частичных дисклинаций) в глубь зерна происходит в результате коллективного движения дислокаций.

Поэтому при оценке упругих полей дисклинационных конфигураций более корректно рассматривать их не индивидуально, а при учете вклада окружающих дислокаций, перераспределение которых в упругом поле дисклинаций способно привести к понижению общей упругой энергии системы. Анализ этого вопроса и посвящена настоящая работа.

Рассмотрим задачу, когда клиновидная дисклинация, расположенная в начале координат, находится в окружении ансамбля краевых дислокаций, осуществляющих пластическую деформацию в поле внешних напряжений  $\sigma_e$ . Дислокации характеризуются плотностью  $\rho_a(\mathbf{r}, t)$ , вектором Бюргера  $b_a$  в направлении скольжения дислокаций  $0_x(\mathbf{b}_a \parallel \mathbf{e}_x)$  и обладают нулевым суммарным вектором Бюргера  $\sum_a b_a \rho_{a0} = 0$  ( $\rho_{a0} = \rho_0/2$  — однородное распределение дислокаций в поле заданных внешних напряжений  $\sigma_e$ ,  $a = \pm$ ).

Тогда суммарное упругое поле от дисклинации и ансамбля дислокаций определяется эффективной функцией напряжений Эйри

$$\begin{aligned} \psi^\Sigma(\mathbf{r}) &= \psi(\mathbf{r}) + \sum_a \int \rho_a(\mathbf{r}') \psi_a^e(|\mathbf{r} - \mathbf{r}'|) d\mathbf{r}' \\ &= \psi(\mathbf{r}) + Db \int I(\mathbf{r}')(y - y') \ln \frac{r_0}{|\mathbf{r} - \mathbf{r}'|} dr', \end{aligned} \quad (1)$$

где  $\psi(\mathbf{r}) = D\omega/2(r^2 \ln(r/R) - r^2/2)$  — функция напряжений Эйри клиновидной дисклинации [8],  $R$  — радиус обрезания упругого поля (например, характерный размер кристалла),  $\omega$  — мощность дисклинации,  $\psi_a^e(\mathbf{r}) = -b_a D y \ln(r/r_0)$  — функция напряжений Эйри краевой дислокации [5],  $I(\mathbf{r}) = \rho_+(\mathbf{r}) - \rho_-(\mathbf{r})$  — избыточная плотность дислокаций (дислокационный заряд),  $D = G/2\pi(1 - \nu)$ ,  $G$  — модуль сдвига,  $\nu$  — коэффициент Пуассона.

Последовательное рассмотрение вопроса, связанное с нахождением эффективной функции напряжений Эйри  $\psi^\Sigma(\mathbf{r})$ , возможно в приближении самосогласованного поля. Такое приближение введено было

в физике плазмы и получило название дебаевского [10]. Для этого приближения характерно то, что в состоянии термодинамического равновесия электроны ( $e$ ) и ионы ( $i$ ) в самосогласованном поле ( $U_{eff} = e\phi_{eff}$ ) распределены по формуле Больцмана. Причем в условиях электронейтральности ( $n_{0e} = n_{0i} = n_0/2$ ) для заряженных частиц имеет место соотношение  $(n_i - n_e)/n_0 = \text{sh}(-e\phi_{eff}/kT) \simeq -U_{eff}/kT$ , характеризующее данное приближение [10].

В кулоновской плазме, где равновесное распределение заряженных частиц устанавливается в результате их теплового движения (соответственно температура играет роль внешнего параметра, контролирующего процессы релаксации системы к равновесному состоянию). В нашей задаче стационарное состояние дислокационной системы достигается в условиях пластической деформации в результате процессов генерации и аннигиляции дислокаций. Аналогом температуры здесь является работа пластической деформации  $T_{ext} \simeq b\sigma_e \bar{L}$ , связанная с перемещением дислокации на длину свободного пробега  $\bar{L}$ .

Таким образом, для рассматриваемой задачи, следуя логике самосогласованного приближения, можно предположить

$$I(\mathbf{r}) = -\rho_0 \frac{U_{eff}(\mathbf{r})}{T_{ext}} = -\frac{\rho_0 b}{T_{ext}} \cdot \frac{\partial \psi^\Sigma(\mathbf{r})}{\partial y}. \quad (2)$$

Здесь  $U_{eff}^a(\mathbf{r}) = b_a \partial \psi^\Sigma(\mathbf{r}) / \partial y$  — энергия взаимодействия отдельной дислокации с самосогласованным упругим полем.

Переходя в (1) и (2) к фурье-компонентам, находим

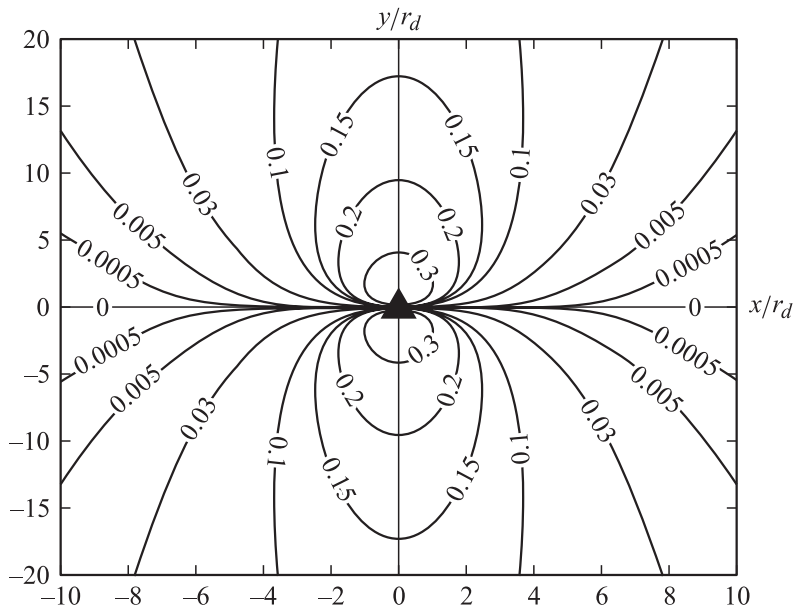
$$\psi^\Sigma(\mathbf{k}) = \frac{4\pi D \omega}{|\mathbf{k}|^4 + 4k_y^2 r_d^{-2}}, \quad I(\mathbf{k}) = \frac{ik_y 4\omega b^{-1} r_d^{-2}}{|\mathbf{k}|^4 + 4k_y^2 r_d^{-2}}, \quad (3)$$

где  $r_d^{-2} = \pi \rho_0 b^2 D / T_{ext}$ .

Из (3) можно теперь определить стационарное пространственное распределение дислокационного заряда (см. рисунок) в поле дисклинации

$$I(\mathbf{r}) = \frac{1}{(2\pi)^2} \int \frac{ik_y 4\omega b^{-1} r_d^{-2}}{|\mathbf{k}|^4 + 4k_y^2 r_d^{-2}} e^{-i\mathbf{k}\mathbf{r}} d\mathbf{k} = I_c \text{sh}(y/r_d) K_0(r/r_d). \quad (4)$$

Здесь  $I_c = \omega / \pi b r_d$  и  $K_0(r/r_d)$  — функция Макдональда нулевого порядка [11].



Стационарное пространственное распределение нормированной избыточной плотности дислокаций  $I(x, y)/I_c$  в поле дисклинации, расположенной в начале координат. Максимальное значение дислокационного заряда  $I = \pm 0.5I_c$  достигается при значениях  $x = 0$ ,  $y = \pm 0.8r_d$ .

Далее, применяя обратное преобразование Фурье, находим с учетом известной функции  $\psi^\Sigma(\mathbf{k})$  компоненты тензора напряжений рассматриваемой системы дефектов

$$\sigma_{yy}^\Sigma(\mathbf{r}) = \frac{\partial^2 \psi^\Sigma(\mathbf{r})}{\partial x^2} = -D\omega \left[ \text{ch}(y/r_d)K_0(r/r_d) + \text{sh}(y/r_d)\frac{y}{r}K_1(r/r_d) \right], \quad (5)$$

$$\sigma_{xx}^\Sigma(\mathbf{r}) = \frac{\partial^2 \psi^\Sigma(\mathbf{r})}{\partial y^2} = -D\omega \left[ \text{ch}(y/r_d)K_0(r/r_d) - \text{sh}(y/r_d)\frac{y}{r}K_1(r/r_d) \right], \quad (6)$$

$$\sigma_{xy}^\Sigma(\mathbf{r}) = -\frac{\partial^2 \psi^\Sigma(\mathbf{r})}{\partial x \partial y} = -D\omega \text{sh}(y/r_d)\frac{x}{r}K_1(r/r_d). \quad (7)$$

Здесь  $K_1(z) = -K_0'(z)$  — функция Макдональда первого порядка.

Из полученных выражений (5)–(7) следует, что упругие поля  $\sigma_{ij}^\Sigma$  убывают с расстоянием и при  $r \gg r_d$  становятся очень малыми ( $K_0(r/r_d) \sim \sqrt{\pi r_d/2r} e^{-r/r_d}$  [11]). Поэтому величину  $r_d$  можно рассматривать как радиус экранирования упругого поля дисклинации в направлении скольжения дислокаций  $Ox$  (в направлении  $Oy$  упругое поле убывает гиперболически). Заметим, что рассматриваемый пространственный масштаб  $r_d$  совпадает с радиусом экранирования, введенным в [12].

Используя выражения (5)–(7), нетрудно найти энергию упругого поля  $W^\Sigma$  системы дисклинация + дислокации

$$W^\Sigma = \frac{D^2 \omega^2}{2G} \int_0^R r dr \int_0^{2\pi} \left[ \text{sh}^2(y/r_d) K_1^2(r/r_d) + (1 - 2\nu) \text{ch}^2(y/r_d) K_0^2(r/r_d) \right] d\varphi$$

$$\simeq \frac{\sqrt{\pi}}{4} D \omega^2 r_d^2 \sqrt{\frac{R}{r_d}}. \quad (8)$$

Сравнивая ее с энергией  $W = D\omega R^2/8$  неэкранированной дисклинации [8], имеем

$$W^\Sigma/W = 2\sqrt{\pi}(r_d/R)^{3/2}. \quad (9)$$

Сделаем некоторые оценки. Радиус экранирования  $r_d$ , согласно [12], имеет величину порядка среднего расстояния между дислокациями. При развитой пластической деформации плотность дислокаций  $\rho \sim 10^{10} \text{ см}^{-2}$  [1]. Тогда  $r_d \sim \rho^{-1/2} \simeq 10^{-5} \text{ см}$ . Если за характерный масштаб  $R$  взять размер зерна  $D = 2 \mu\text{м}$ , то  $W^\Sigma/W \sim 3 \cdot 10^{-2}$ ; если  $D = 10 \mu\text{м}$ , то эффект составит уже  $W^\Sigma/W \sim 3 \cdot 10^{-3}$ .

Таким образом, имеет место существенный эффект снижения упругой энергии для дисклинации, экранированной системой избыточных дислокаций, распределенных по закону [4].

В исходной постановке рассматриваемая задача решалась в бесконечном пространстве. Но то обстоятельство, что характерный масштаб  $r_d$  спадания упругого поля достаточно мал (за исключением луча в направлении, перпендикулярном системе скольжения), позволяет предположить, что полученный результат можно обобщить на случай зерна с размером  $D \gg r_d$ .

## Список литературы

- [1] Рыбин В.В. Большие пластические деформации и разрушение металлов. М.: Металлургия, 1986. 224 с.
- [2] Рыбин В.В. // Вопросы материаловедения. 2002. № 4 (32). С. 11–33.
- [3] Перевезенцев В.Н., Рыбин В.В. // Вопросы материаловедения. 2002. № 4 (32). С. 113–122.
- [4] Вержазов А.Н., Лихачев В.А., Рыбин В.В. // ФММ. 1976. Т. 42. С. 146–154.
- [5] Хирт Дж., Лоте И. Теория дислокаций. М.: Атомиздат, 1972. 599 с.
- [6] Косевич А.М. Физическая механика реальных кристаллов. Киев.: Наук. думка, 1981. 328 с.
- [7] Де Вит Р. Континуальная теория дисклинаций. М.: Мир, 1977. 208 с.
- [8] Владимиров В.И., Романов А.Е. Дисклинации в кристаллах. Л.: Наука, 1986. 224 с.
- [9] Романов А.Е. // Proc. Int. Conf. „Nanomaterials by Severe Plastic Deformation–NANOSPD2, December 9–13, 2002. Venna, Austria“. 2004, Wiley–VCH Verlag GmbH & Co. KGaA. P. 215–225.
- [10] Ландау Л.Д., Лифшиц Е.М. Статистическая физика. М.: Наука, 1976. 584 с.
- [11] Владимиров В.С. Уравнения математической физики. М.: Наука, 1971. 512 с.
- [12] Сарафанов Г.Ф. // ФТТ. 1997. Т. 39. В. 9. С. 1575–1579.